

ตัวเร่งปฏิกิริยาไทเทเนียมบนตัวรองรับพอลิเมอร์สำหรับพอลิเมอโรเซชันของสไตรีน



นายนิวัฒน์ อภิปัญญาโสภณ

ศูนย์วิทยทรัพยากร

จุฬาลงกรณ์มหาวิทยาลัย

วิทยานิพนธ์นี้เป็นส่วนหนึ่งของการศึกษาตามหลักสูตรปริญญาวิทยาศาสตรมหาบัณฑิต  
สาขาวิชาปิโตรเคมีและวิทยาศาสตร์พอลิเมอร์ หลักสูตรปิโตรเคมีและวิทยาศาสตร์พอลิเมอร์

คณะวิทยาศาสตร์ จุฬาลงกรณ์มหาวิทยาลัย

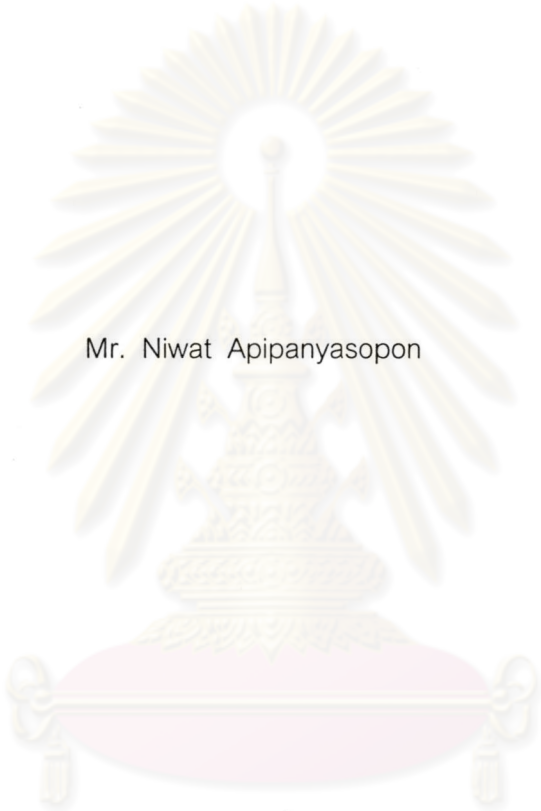
ปีการศึกษา 2545

ISBN 974-17-1481-5

ลิขสิทธิ์ของจุฬาลงกรณ์มหาวิทยาลัย

120923880

POLYMER-SUPPORTED TITANOCENE CATALYST FOR STYRENE POLYMERIZATION



Mr. Niwat Apipanyasopon

ศูนย์วิทยทรัพยากร

A Thesis Submitted in Partial Fulfillment of the Requirements  
for the Degree of Master of Science in Petrochemistry and Polymer Science

Program of Petrochemistry and Polymer Science

Faculty of Science

Chulalongkorn University

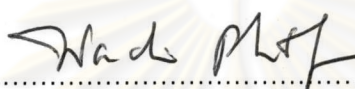
Academic Year 2002

ISBN 974-17-1481-5

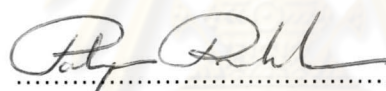
Thesis Title Polymer-Supported Titanocene Catalyst for Styrene Polymerization  
By Mr. Niwat Apipanyasopon  
Field of Study Petrochemistry and Polymer Science  
Thesis Advisor Associate Professor Wimonrat Trakarnpruk, Ph.D.  
Thesis Co-advisor Professor Piyasan Prasertthdam, Dr. Ing.

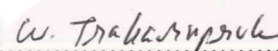
---

Accepted by the Faculty of Science, Chulalongkorn University in Partial  
Fulfillment of the Requirements for the Master 's Degree

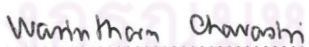
  
.....Dean of Faculty of Science  
(Associate Professor Wanchai Phothiphichitr, Ph.D.)

Thesis Committee

  
.....Chairman  
(Professor Pattarapan Prasassarakich, Ph.D.)

  
.....Thesis Advisor  
(Associate Professor Wimonrat Trakarnpruk, Ph.D.)

  
.....Thesis Co-advisor  
(Professor Piyasan Prasertthdam, Dr. Ing.)

  
.....Member  
(Assistant Professor Warinthorn Chavasiri, Ph.D.)

  
.....Member  
(Assistant Professor Worawan Bhanthumnavin, Ph.D.)

นิวัฒน์ อภิปัญญาโสภณ : ตัวเร่งปฏิกิริยาไทเทเนียมบนตัวรองรับพอลิเมอร์สำหรับพอลิ  
เมโรเซชันของสไตรีน (Polymer-supported titanocene catalyst for styrene  
polymerization)

อ. ที่ปรึกษา : รศ.ดร. วิมลรัตน์ ตระการพฤษ์ อ.ที่ปรึกษาร่วม : ศ.ดร. ปิยะสาร  
ประเสริฐธรรม, จำนวนหน้า 90 หน้า. ISBN 974-17-1481-5.

งานวิจัยนี้ได้ศึกษาตัวเร่งปฏิกิริยาไทเทเนียมบนตัวรองรับพอลิเมอร์สำหรับพอลิเมโร  
เซชันของสไตรีน ตัวเร่งปฏิกิริยาไทเทเนียมบนตัวรองรับพอลิเมอร์สามารถแบ่งออกเป็น 2 ระบบ  
ตามชนิดของตัวเร่งปฏิกิริยาร่วม (เมทิลอะลูมิเนียมออกเซน และ สารประกอบโบรอน) ผลการทดลอง  
แสดงว่าระบบซึ่งประกอบด้วยตัวรองรับพอลิเมอร์ (polystyrene-co-DVB) – เพนทาเมทิลไซโคล  
เพนทาไดอีนิลไทเทเนียมไตรคลอไรด์ ( $Cp^*TiCl_3$ ) – เมทิลอะลูมิเนียมออกเซน (MAO) หรือ  
P- $Cp^*TiCl_3$ -MAO ให้แอกติวิตีสูงกว่าระบบซึ่งประกอบด้วยตัวรองรับพอลิเมอร์ (polystyrene-  
co-DVB) – เพนทาเมทิลไซโคลเพนทาไดอีนิลไทเทเนียมไตรคลอไรด์ ( $Cp^*TiCl_3$ ) - ไดเมทิลอะนิล  
เนียมเททราทิส(เพนทาฟลูออโรเฟนิลโบเรต)  $[PhNMe_2H][B(C_6F_5)_4]$  หรือ P- $Cp^*TiCl_3$ -boron  
ภาวะที่เหมาะสมสำหรับระบบ P-  $Cp^*TiCl_3$ -MAO คือ 87 มิลลิโมลของสไตรีน อัตราส่วนโมลของ  
Al/Ti เท่ากับ 300 ใช้ 0.1000 มิลลิโมลของตัวเร่งปฏิกิริยา อุณหภูมิ 70°C และเวลา 4 ชั่วโมง  
ภาวะที่เหมาะสมสำหรับระบบ P- $Cp^*TiCl_3$ -boron คือ 87 มิลลิโมลของสไตรีน อัตราส่วนโมลของ  
Al/Ti เท่ากับ 200 ใช้ 0.0100 มิลลิโมลของตัวเร่งปฏิกิริยา อุณหภูมิ 70°C และเวลา 4 ชั่วโมง  
พอลิสไตรีนที่ได้มีการจัดเรียงตัวของสายโซ่แบบซินดีโอแทคติก ยืนยันจากการพิสูจน์เอกลักษณ์  
ด้วยเทคนิค  $^{13}C$  NMR และผลที่ได้จากเทคนิค SEM แสดงว่าพอลิเมอร์มีลักษณะเป็นไปตามรูป  
ร่างของตัวรองรับ

ศูนย์วิทยทรัพยากร  
จุฬาลงกรณ์มหาวิทยาลัย

หลักสูตร...ปิโตรเคมีและวิทยาศาสตร์พอลิเมอร์...  
สาขาวิชา...ปิโตรเคมีและวิทยาศาสตร์พอลิเมอร์...  
ปีการศึกษา.....2545.....

ลายมือชื่อนิสิต...  
ลายมือชื่ออาจารย์ที่ปรึกษา...  
ลายมือชื่ออาจารย์ที่ปรึกษาร่วม...

## 4372307023 : MAJOR PETROCHEMISTRY AND POLYMER SCIENCE  
KEY WORD: POLYMER-SUPPORTED TITANOCENE CATALYST/STYRENE  
POLYMERIZATION

NIWAT APIPANYASOPON : POLYMER-SUPPORTED  
TITANOCENE CATALYST FOR STYRENE POLYMERIZATION  
THESIS ADVISOR : ASSOC.PROF. WIMONRAT TRAKARNPRUK,  
Ph.D. THESIS CO-ADVISOR : PROF. PIYASAN PRASERTHDAM,  
Dr.Ing.; 90 pp. ISBN 974-17-1481-5.

In this thesis, the polymer-supported titanocene catalysts have been studied for styrene polymerization. The polymer-supported titanocene catalysts can be divided into 2 systems according to type of cocatalysts (methylaluminoxane (MAO) and boron compound). The results indicated that (polystyrene-*co*-DVB)-Cp\*TiCl<sub>3</sub>-MAO system or P-Cp\*TiCl<sub>3</sub>-MAO exhibits a higher catalytic activity than (polystyrene-*co*-DVB)-Cp\*TiCl<sub>3</sub>-[PhNMe<sub>2</sub>H][B(C<sub>6</sub>F<sub>5</sub>)<sub>4</sub>] system or P-Cp\*TiCl<sub>3</sub>-boron. The optimum condition for P-Cp\*TiCl<sub>3</sub>-MAO system is: 87 mmol of styrene, Al/Ti molar ratio of 300, 0.1000 mmol of catalyst at polymerization temperature of 70°C and polymerization time of 4 h. The optimum condition for P-Cp\*TiCl<sub>3</sub>-boron system is: 87 mmol of styrene, Al/Ti molar ratio of 200, 0.0100 mmol of catalyst at polymerization temperature of 70°C and polymerization time of 4 h. Tacticity of obtained polystyrene is syndiotactic polystyrene, revealed by the <sup>13</sup>C NMR technique. The result from SEM demonstrated that the morphology of polystyrene is a replica of support particles.

ศูนย์วิทยทรัพยากร  
จุฬาลงกรณ์มหาวิทยาลัย

Program...Petrochemistry and Polymer Science...

Student's... นิชพันธ์ อธิพัฒน์ไพศาลกุล

Field of study...Petrochemistry and Polymer Science

Advisor's... W. Trakarnpruk

Academic year ....2002....

Co-advisor's... Piyasan Praserttham

## ACKNOWLEDGEMENTS

The author would like to express his gratitude to his advisors, Associate Professor Dr. Wimonrat Trakarnpruk and Professor Dr. Piyasan Praserttham for providing valuable advice, encouragement and giving assistance throughout the course of this research. In addition, the author also wishes to express deep appreciation to Professor Dr. Pattarapan Prasassarakich, Assistant Professor Dr. Warinthorn Chavasiri and Assistant Professor Dr. Worawan Bhanthumnavin serving as the chairman and members of his thesis committee, respectively, for their valuable suggestions and comments. Thanks are also to Associate Professor Dr. Takeshi Shiono, Tokyo Institute of Technology, Japan for his helps for polymer characterization, Dr. Uozumi, Japan Advanced Institute of Science and Technology, Japan for chemical donation.

Appreciation is also extended to Program of Petrochemistry and Polymer Science and the Department of Chemistry, Faculty of Science, Chulalongkorn University for granting financial support to fulfill this study and provision of experimental facilities.

Further acknowledgement is extended to his friends for their help and encouragement during his graduate studies. Finally, the author is very appreciated to his family and his good friends whose names are not mentioned here for their love, assistance and encouragement throughout his entire education. Without them, the author would have never been able to achieve this goal.

## CONTENTS

	PAGE
<b>ABSTRACT (IN THAI)</b> .....	iv
<b>ABSTRACT (IN ENGLISH)</b> .....	v
<b>ACKNOWLEDGEMENTS</b> .....	vi
<b>CONTENTS</b> .....	vii
<b>LIST OF TABLES</b> .....	xii
<b>LIST OF FIGURES</b> .....	xiv
<b>LIST OF ABBREVIATIONS</b> .....	xvii
<b>CHAPTERS</b>	
<b>I INTRODUCTION</b> .....	1
1.1. The objectives of the thesis.....	3
1.2. The scope of the thesis.....	3
<b>II THEORY</b> .....	4
2.1. Metallocene.....	4
2.2. Cocatalysts.....	5
2.2.1. Aluminium compounds.....	6
2.2.1.1. Aluminium alkyls.....	6
2.2.1.2. MAO.....	7
2.2.2. Boron compounds.....	10
2.2.2.1. Borane.....	10
2.2.2.2. Borate.....	11
2.3. Polymerization mechanisms.....	11
2.3.1. Initiation step: active species.....	12
2.3.2. Propagation step.....	13
2.3.3. Chain transfer and termination steps.....	14
2.4. Supported metallocene catalyst.....	16
2.4.1. Supported materials.....	16
2.4.1.1. Silica.....	16
2.4.1.2. Magnesium chloride.....	18
2.4.1.3. Zeolites.....	19
2.4.1.4. Polymers.....	20

**CONTENTS (continued)**

	<b>PAGE</b>
2.4.2. Supported catalysts activator.....	24
2.4.2.1. Trialkylaluminums.....	24
2.4.2.2. Aluminoxanes.....	26
2.4.2.3. Boron compounds.....	26
2.5. Comparison of homegeneous and heterogeneous catalysts.....	27
<b>III LITERATURE REVIEWS.....</b>	<b>28</b>
3.1. Titanocenes.....	28
3.2. Supports.....	36
3.3. Copolymers.....	41
<b>IV EXPERIMENT.....</b>	<b>43</b>
4.1. Chemicals.....	43
4.2. Equipments.....	45
4.2.1. Schlenk line.....	45
4.2.2. Heating bath.....	45
4.2.3. Vacuum pump.....	46
4.2.4. Schlenk flask.....	46
4.2.5. Inert gas supply.....	46
4.2.6. Syringe and needle.....	46
4.2.7. Glove bag.....	47
4.2.8. Vacuum oven.....	47
4.2.9. Soxhlet extractor.....	47
4.3. Characterization instruments.....	48
4.3.1. Fourier transformed infrared spectroscopy (FT-IR).....	48
4.3.2. Gel permeation chromatograph (GPC).....	48
4.3.3. Differential scanning calorimeter (DSC).....	48
4.3.4. Nuclear magnetic resonance spectroscopy (NMR).....	49
4.3.5. Scanning electron microscope (SEM).....	49

**CONTENTS (continued)**

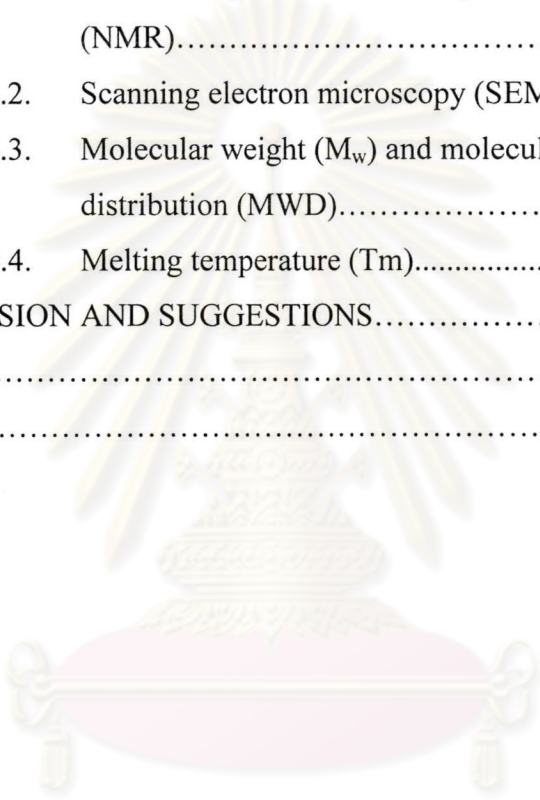
	<b>PAGE</b>
4.4. Synthesis of polymer-supported titanocene catalyst.....	49
4.4.1. Boron compound as cocatalyst.....	49
4.4.2. MAO as cocatalyst.....	51
4.5. Catalyst and cocatalyst solution preparation.....	53
4.6. Polymerization procedure.....	53
4.6.1. Homogeneous system.....	53
4.6.1.1. Polymerization of styrene with CpTiCl <sub>3</sub> /MAO system.....	53
4.6.1.2. Polymerization of styrene with Cp*TiCl <sub>3</sub> /TIBA/boron compound system.....	53
4.6.2. Heterogeneous system.....	54
4.6.2.1. Polymerization of styrene using boron compound as cocatalyst.....	54
4.6.2.1.1. Polymer-supported Cp*TiCl <sub>3</sub> catalyst.....	54
4.6.2.1.2. Polymer-supported CpTiCl <sub>3</sub> catalyst.....	55
4.6.2.1.3. Test of catalyst leaching from polymer support.....	55
4.6.2.2. Polymerization of styrene using MAO as cocatalyst.....	55
4.6.2.2.1. Polymerization procedure.....	55
4.6.2.2.1.1. Polymer-supported titanocene catalyst/ MAO system.....	55
4.6.2.2.1.2. Polymer-supported titanocene catalyst system.....	56
4.6.2.2.2. Polymer-supported CpTiCl <sub>3</sub> catalyst/MAO system (method A).....	56

**CONTENTS (continued)**

	<b>PAGE</b>
4.6.2.2.3. Polymer-supported $\text{CpTiCl}_3$ catalyst system (method A).....	56
4.6.2.2.4. Polymerization of styrene with polymer-supported $\text{Cp}^*\text{TiCl}_3$ catalyst/ MAO system(method A).....	56
4.6.2.2.5. Polymerization of styrene with polymer-supported $\text{CpTiCl}_3$ catalyst/ MAO system(method B).....	57
4.7. Catalyst characterization.....	57
4.8. Characterization of the polystyrene.....	57
<b>V RESULTS AND DISCUSSION.....</b>	<b>59</b>
5.1. Preparation and characterization of polymer-supported titanocene catalysts.....	59
5.1.1. Preparation of polymer-supported catalyst using boron compound as cocatalyst.....	60
5.1.2. Preparation of polymer-supported catalyst using MAO as cocatalyst.....	62
5.2. Homogeneous catalyst.....	64
5.2.1. $\text{CpTiCl}_3$ /MAO system.....	64
5.2.2. $\text{Cp}^*\text{TiCl}_3$ /TIBA/boron compound system.....	64
5.3. Heterogeneous catalyst.....	65
5.3.1. Polymerization of styrene using boron compound as cocatalyst.....	65
5.3.2. Polymerization of styrene using MAO as cocatalyst.....	67
5.3.2.1. Polymer-supported titanocene catalyst (method A).....	67

**CONTENTS (continued)**

	<b>PAGE</b>
5.3.2.2. Comparison of polymer-supported CpTiCl <sub>3</sub> catalyst (method A) and polymer-supported CpTiCl <sub>3</sub> catalyst (method B).....	69
5.4. Characterization of polystyrene.....	70
5.4.1. Nuclear magnetic resonance spectroscopy (NMR).....	70
5.4.2. Scanning electron microscopy (SEM).....	73
5.4.3. Molecular weight (M <sub>w</sub> ) and molecular weight distribution (MWD).....	75
5.4.4. Melting temperature (T <sub>m</sub> ).....	77
VI CONCLUSION AND SUGGESTIONS.....	80
REFERENCES.....	82
VITA.....	90


  
 ศูนย์วิทยทรัพยากร  
 จุฬาลงกรณ์มหาวิทยาลัย

## LIST OF TABLES

TABLE	PAGE
1.1. Structure and thermal properties of atactic, isotactic and syndiotactic polystyrene.....	2
2.1. Polymerization performance of metallocene catalysts based on support dehydration temperature.....	18
2.2. Copolymerization ethylene with 1-olefins using zirconocenes supported on HY zeolite.....	19
2.3. Ethylene polymerization by zirconocene supported on crosslinked polystyrenes.....	24
2.4. Propylene polymerization with supported zirconocene catalysts activated by simple alkylaluminums.....	25
3.1. Syndiotactic polymerization of styrene using methylaluminoxane activated half sandwich titanocene.....	32
3.2. Syndiotactic polymerization of styrene with MAO and various CpTiCl <sub>2</sub> X complexes.....	33
3.3. Styrene polymerization catalyzed by titanocene/MMAO.....	35
4.1. Chemicals.....	43
5.1. Polymerization of styrene catalyzed by CpTiCl <sub>3</sub> /MAO system.....	64
5.2. Polymerization of styrene catalyzed by Cp*TiCl <sub>3</sub> /TIBA/boron compound system.....	65
5.3. Polymerization of styrene by polymer-supported titanocene catalyst using various polymerization conditions.....	66
5.4. Two polymerization procedures.....	67
5.5. Polymerization of styrene catalyzed by polymer-supported titanocene catalyst (method A).....	68
5.6. Comparison between polymer-supported CpTiCl <sub>3</sub> catalyst (method A) and (method B).....	69

## LIST OF TABLES (continued)

TABLE	PAGE
5.7. $M_w$ and MWD of the obtained polystyrene by P-Cp*TiCl <sub>3</sub> /MAO P-CpTiCl <sub>3</sub> /MAO systems.....	75
5.8. $T_m$ of the obtained polystyrene by Cp*TiCl <sub>3</sub> /boron, P-Cp*TiCl <sub>3</sub> -boron and P-Cp*TiCl <sub>3</sub> -MAO systems.....	77



ศูนย์วิทยทรัพยากร  
จุฬาลงกรณ์มหาวิทยาลัย

## LIST OF FIGURES

FIGURE	PAGE
2.1. Typical chemical structure of a metallocene catalyst.....	5
2.2. Formation of methylaluminumoxane (MAO).....	7
2.3. Structures of MAO.....	9
2.4. Structures of bifunctional perfluoroarylboranes.....	10
2.5. Structures of borate cocatalysts.....	11
2.6. Formation of initiating species by CpTiX <sub>3</sub> /MAO catalytic system.....	13
2.7. Stereochemistry of double bond opening of cis-styrene-β-d by syndiospecific catalysts for styrene polymerization.....	14
2.8. Different Si-OH group.....	17
2.9. Preparation of polymer-supported Cp <sub>2</sub> TiCl <sub>2</sub> complex (A).....	20
2.10. Preparation of polymer-supported Zr-di-Ind complex.....	21
2.11. Preparation of polymer-supported Cp/fluorene ligand (complex A).....	22
2.12. Immobilized metal cyclopentadienyl complex on a noninteracting polystyrene support.....	23
2.13. Polymer-supported zirconocene catalyst with polar group.....	23
3.1. Substituted indenyltrichlorotitanium compounds.....	30
3.2. Substituted tetrahydrobenz[e]indenyl trichlorotitanium compounds.....	31
3.3. New titanatranes.....	35
3.4. Structure of the core-shell-particle-supported catalyst.....	38
3.5. Sequential functionalization of chloromethylated polystyrene-DVB beads with a secondary amine, an acidic salt of the tetrakis(perfluorophenyl)boron anion, and a dimethylmetallocene.....	40
4.1. Schlenk line.....	45
4.2. Round-bottomed and tube designs for Schlenk flasks incorporating ground-glass joints.....	46
4.3. Soxhlet-type extractor.....	47
4.4. Synthesis of polymer-supported catalyst using boron compound as cocatalyst.....	50

## LIST OF FIGURES (continued)

FIGURE	PAGE
4.5. Synthesis of polymer-supported catalyst using MAO as cocatalyst (method A).....	51
4.6. Synthesis of polymer-supported catalyst using MAO as cocatalyst (method B).....	52
5.1. Preparation of polymer-supported catalyst using boron compound as cocatalyst.....	60
5.2. FTIR spectra of compound A, B and C.....	61
5.3. Preparation of polymer-supported catalyst using MAO as cocatalyst (method A).....	62
5.4. FTIR spectrum of compound C.....	63
5.5. Preparation of polymer-supported catalyst using MAO as cocatalyst (method B).....	63
5.6. <sup>13</sup> C NMR spectrum of polystyrene obtained with P-CpTiCl <sub>3</sub> using MAO as cocatalyst.....	71
5.7. <sup>13</sup> C NMR spectrum of polystyrene obtained with P-Cp*TiCl <sub>3</sub> using MAO as cocatalyst .....	72
5.8. <sup>13</sup> C NMR spectra of polystyrene: (1) atactic; (2) isotactic; (3) syndiotactic.....	72
5.9. SEM micrograph of polystyrene-co-DVB bead.....	73
5.10. SEM micrograph of polystyrene produced with homogeneous Cp*TiCl <sub>3</sub> /TIBA/boron compound.....	74
5.11. SEM micrograph of polystyrene produced with polymer-supported catalyst using boron compound as cocatalyst.....	74
5.12. SEM micrograph of polystyrene produced with polymer-supported catalyst using MAO as cocatalyst.....	75
5.13. GPC curve of polystyrene produced with polystyrene obtained with P-CpTiCl <sub>3</sub> using MAO as cocatalyst.....	76
5.14. GPC curve of polystyrene produced with polystyrene obtained with P-Cp*TiCl <sub>3</sub> using MAO as cocatalyst.....	77
5.15. DSC curve of polystyrene produced with Cp*TiCl <sub>3</sub> /boron system.....	78

## LIST OF FIGURES (continued)

FIGURE	PAGE
5.16. DSC curve of polystyrene produced with P-Cp*TiCl <sub>3</sub> -boron system.....	79
5.17. DSC curve of polystyrene produced with P-Cp*TiCl <sub>3</sub> -MAO system.....	79



ศูนย์วิทยทรัพยากร  
จุฬาลงกรณ์มหาวิทยาลัย

## LIST OF ABBREVIATIONS

PS	Polystyrene
APS	Atactic polystyrene
IPS	Isotactic polystyrene
SPS	Syndiotactic polystyrene
MAO	Methylaluminoxane
$T_g$	Glass transition temperature
$T_m$	Melting temperature
TMA, $AlMe_3$	Trimethylaluminium
TIBA, $Al(i-Bu)_3$	Triisobutylaluminium
M	Metal
Me	Methyl
Et	Ethylene
Cp	Cyclopentadienyl
Cp*	Pentamethylcyclopentadienyl
Ind	Indenyl
Flu	Fluorenyl
BenzInd	Benzylindenyl
PhInd	Phenylindenyl
P-	Polymer-supported

ศูนย์วิทยทรัพยากร  
จุฬาลงกรณ์มหาวิทยาลัย